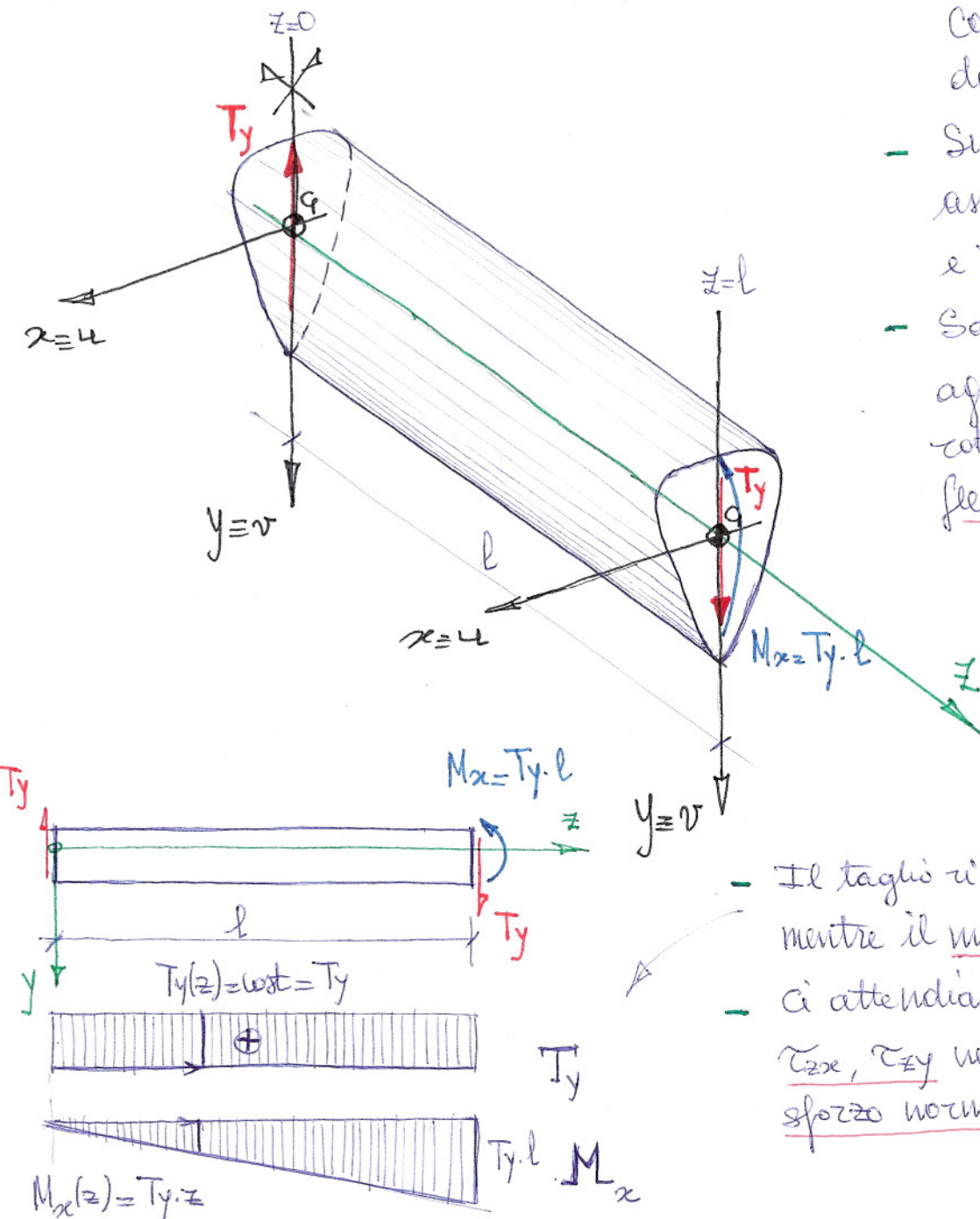


CASI DI DSV:

3) Taglio (o flessione composta)

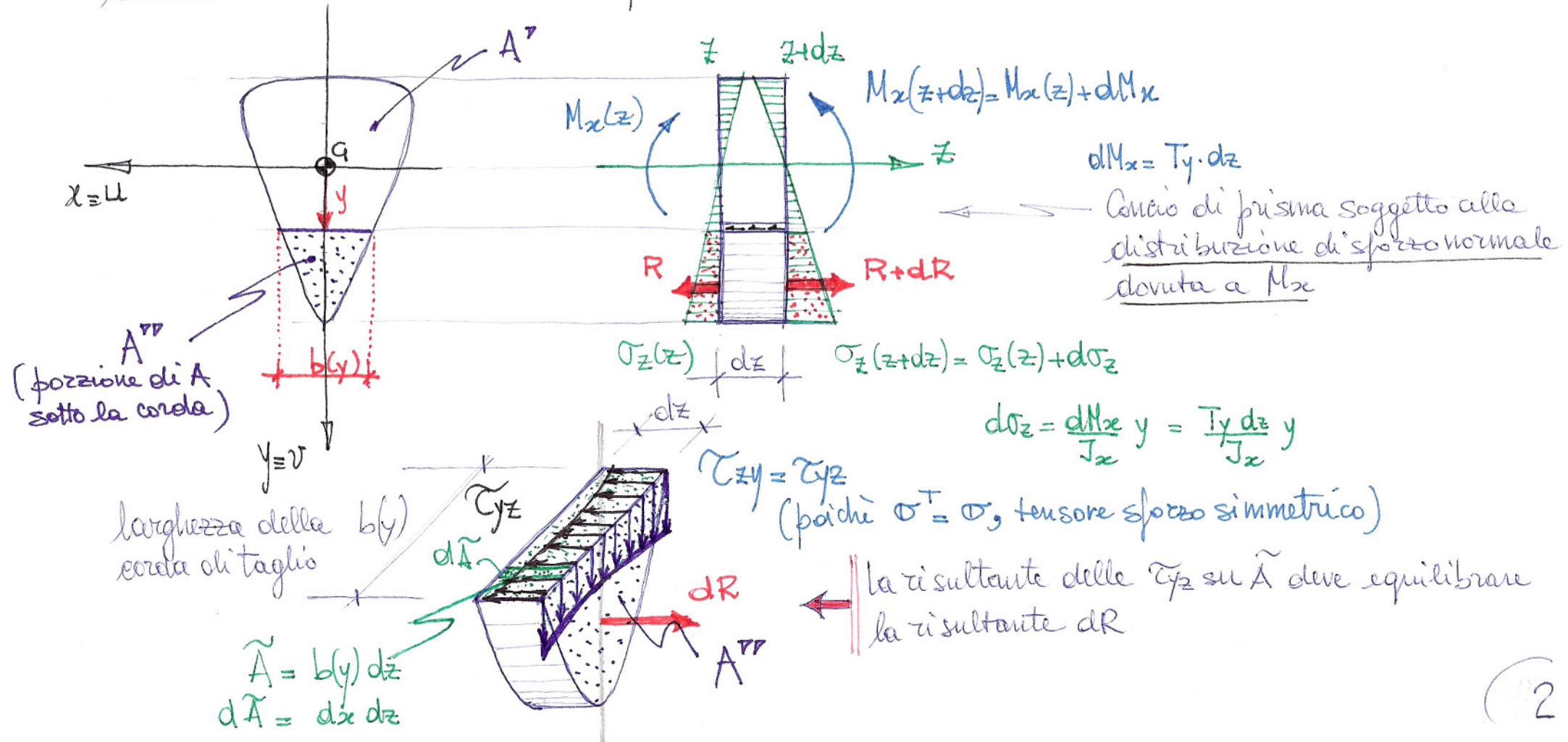


- Consideriamo il solo caso di prisma di DSV con sezioni simmetriche e simmetricamente caricate da un'azione tagliente T .
- Sia ad es. y un asse di simmetria retta, quindi asse principale d'inerzia della sezione trasversale, e T agente secondo tale asse: $\underline{T = T_y}$.
- Sappiamo che $T_y = \text{cost}$ lungo il prisma non può agire da sola, in quanto, per l'equilibrio alla rotazione è necessariamente presente anche momento flettente M_x agente nel piano di simmetria.
- Supponendo agente la sola T_y sulla base $z=0$ dovrà quindi essere presente una coppia $M_x = T_y \cdot l$ sulla base $z=l$. In tal modo il sistema di forze agente sulle basi del prisma risulta autoequilibrato.
- Il taglio risulta quindi costante lungo il prisma mentre il momento ha andamento lineare in z .
- Ci attendiamo che il taglio T_y produca tensioni tangenziali τ_{zx}, τ_{zy} nel piano delle sezioni, mentre $M_x(z)$ produce uno sforzo normale

$$\sigma_z(z, y) = \frac{M_x(z)}{J_x} y = \frac{T_y \cdot z}{J_x} \cdot y$$

• Treatazione approssimata secondo D.J. JOURAWSKY (~ 1856)

- la soluzione analitica del pb. di DSV del taglio non si presenta in generale agevole. Si è affermata la soluzione approssimata proposta dall'ingegnere russo Jourawsky, fondata sul ragionamento di equilibrio seguente.
- Si considera una corda di taglio I all'asse y posta a quota generica y tale da emulcare una porzione di un conio di prisma di lunghezza dz . Si valuta l'equilibrio alla traslazione secondo l'asse z di tale porzione.



- L'equilibrio alla traslazione in direzione \neq impone:

$$\int_{\tilde{A}} \tau_{yz} d\tilde{A} = dR$$

$$\tau_{yz} = \bar{\tau}_{zy}$$

$$\int_{\tilde{A}} \tau_{zy} dx dz = \int_{A''} d\sigma_z dA'' = \int_{A''} \cancel{T_y dz} \cancel{\int_{x_c} y dA''} \cancel{dz}$$

Definendo con $\bar{\tau}_{zy}$ il valore medio di τ_{zy} lungo la corda di larghezza b :

$$\bar{\tau}_{zy} = \frac{\int_{-b/2}^{b/2} \tau_{zy} dy}{b}; \quad b \bar{\tau}_{zy} = \int_{-b/2}^{b/2} \tau_{zy} dy$$

e notando che l'integrale $\int_{A''} y dA''$ esprime il momento statico della porzione d'area A'' rispetto all'asse x bariantico dell'intera sezione si ottiene:

τ_{zy} media
lungo la corda

$$\rightarrow \bar{\tau}_{zy} = \frac{T_y S_x''(y)}{J_x b(y)}$$

FORMULA DI JOURAWSKY

- T_y : Taglio applicato (secondo l'asse y)
- J_x : Momento d'inerzia dell'intera sezione rispetto all'asse x
- $S_x''(y)$: Momento statico dell'area A'' rispetto all'asse x
- $b(y)$: larghezza delle corda di taglio

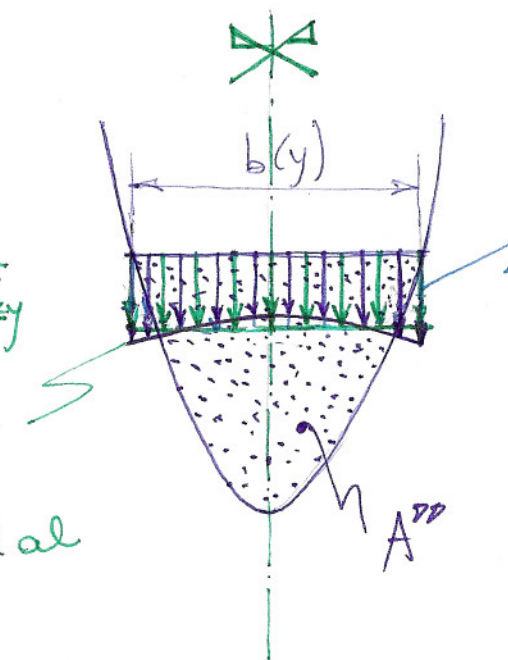
- Sin qui nessuna approssimazione. L'imposizione dell'equilibrio ha consentito di determinare il valore medio delle τ_{zy} lungo la corda. L'approssimazione consiste nell'assumere in seguito che le τ_{zy} siano costanti lungo la corda e pari al loro valore medio:

$$\tilde{\tau}_{zy}(x, y) = \bar{\tau}_{zy}(y) = \frac{T_y S_x^{\rightarrow\rightarrow}(y)}{J_x b(y)}$$

approssimazione

$$\bar{\tau}_{zy} = \bar{\tau}_{zy}$$

approssimazione
di Joukowski:
 τ_{zy} costanti pari al
valore medio



distribuzione (non
nota) delle τ_{zy}
(attesa simmetrica
rispetto all'asse y)

- Si noti inoltre che, poiché il momento statico dell'intera sezione rispetto all'asse x (baricentrico) è nullo, risulta:

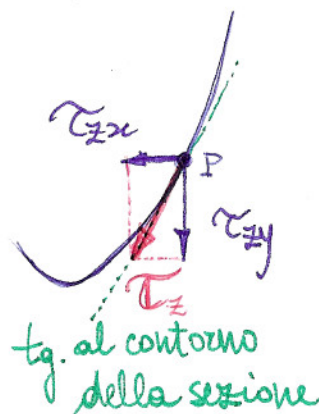
$$S_{xe} = S_x^{\rightarrow} + S_x^{\rightarrow\rightarrow} = 0 \Rightarrow S_x^{\rightarrow\rightarrow} = -S_x^{\rightarrow}$$

- Quindi le $\bar{\tau}_{zy}(y)$ possono essere espresse indifferentemente dalle due formule:

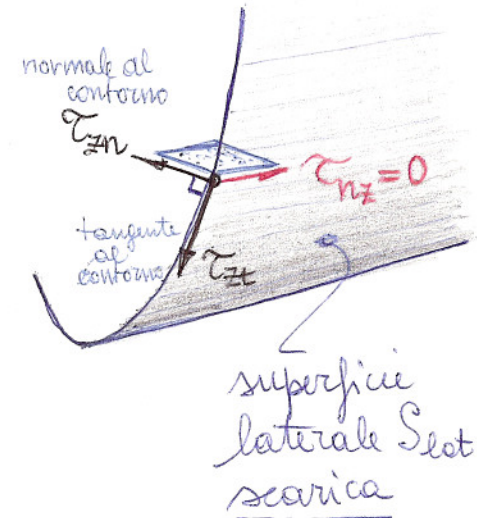
$$\bar{\tau}_{zy}(y) = \frac{T_y S_x^{\rightarrow\rightarrow}(y)}{J_x b(y)} = - \frac{T_y S_x^{\rightarrow}(y)}{J_x b(y)}$$

S_x^{\rightarrow} : momento statico di A' risp. a x
 $S_x^{\rightarrow\rightarrow}$: momento statico di A'' risp. a x

- Nei punti del contorno della sezione ove esso risulta inclinato rispetto all'asse di simmetria y nasce necessariamente anche una componente τ_{zx} tale per cui il vettore risultante $\tau_z = \begin{cases} \tau_{zx} \\ \tau_{zy} \end{cases}$ risulti tangente al contorno della sezione.



Altrimenti si produrebbe anche una τ_{zn} normale al contorno, quindi anche una $\tau_{nz} = \tau_{zn}$ sulle sup. laterale del prisma che, invece, è scarica per ipotesi.



- Le $\tau_{zx}(x, y)$ lungo la corda a quota y dovranno avere un andamento antisimmetrico rispetto all'asse y, con valore nullo sull'asse di simmetria. Si dimostra inoltre, per mezzo delle 3^e eq. ne indefinita di equilibrio, che tale andamento, secondo la soluzione approssimata di Jourawsky, deve risultare lineare.

$$\operatorname{div} \sigma + F = 0 \Rightarrow \frac{\partial \sigma_{ij}}{\partial x_i} + F_j = 0 \quad j \neq z$$

*0 per ip.
(prisma di DSV privo di forte di volume)*

$$\frac{\partial \tau_{xz}}{\partial x} + \frac{\partial \tau_{yz}}{\partial y} + \frac{\partial \sigma_{zz}}{\partial z} = 0 \quad [\text{ove } \tau_{xz} = \tau_{zx}; \tau_{yz} = \tau_{zy}]$$

Derivando una volta rispetto ad x si ottiene:

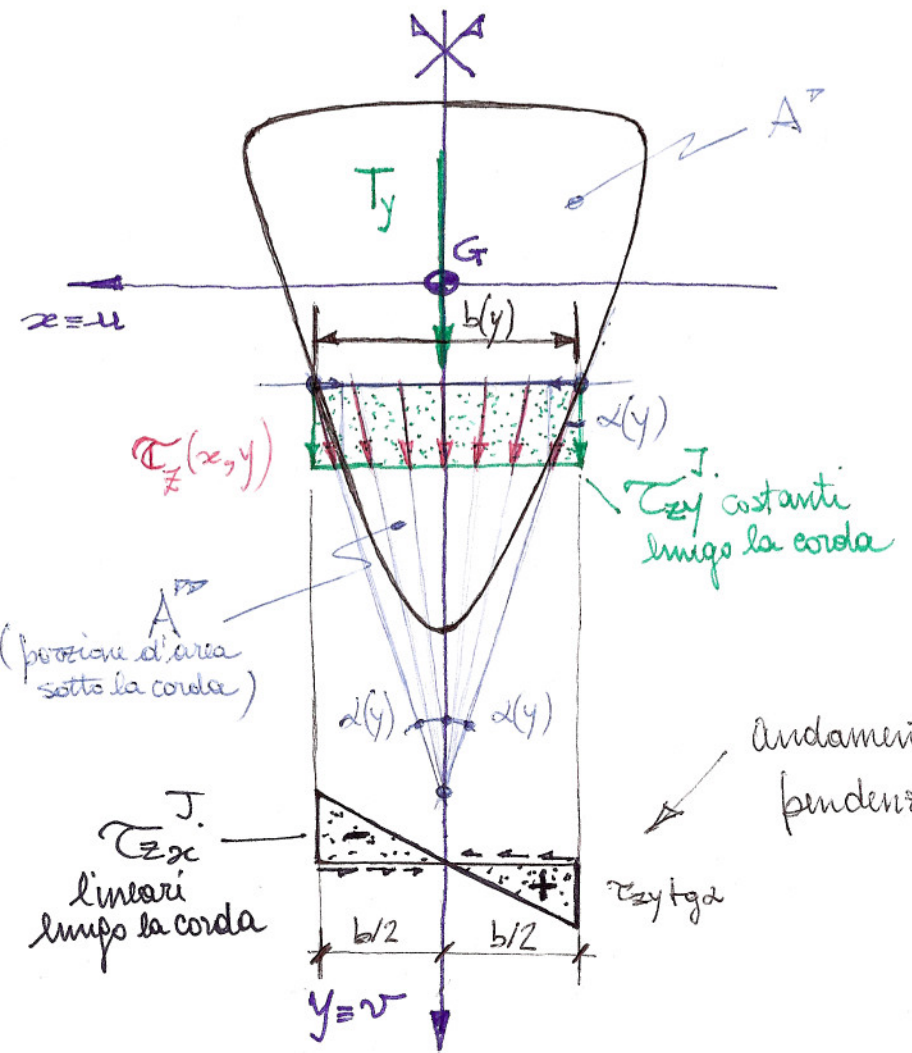
$$\frac{\partial^2 \tau_{zx}}{\partial x^2} + \frac{\partial^2 \tau_{zy}(y)}{\partial x \partial y} + \frac{\partial^2 \sigma_{zz}(y, z)}{\partial x \partial z} = 0 \Rightarrow \tau_{zx} \text{ lineare in } x$$

*0: τ_{zy} cost. in x
secondo Jourawsky*

*0: σ_{zz} cost. in x
alle quote y secondo form. di Navier*

- In base a tale osservazioni l'espressione delle $\tilde{\tau}_{zz}(x,y)$ secondo Jourawsky è presto determinata. Indicando con $\alpha(y)$ l'angolo di inclinazione della tangente al contorno alla quota y , si ottiene: $\tilde{\tau}_{zz}(x = -\frac{b}{2}, y) = \operatorname{tg} \alpha(y) \tilde{\tau}_{zy}(y)$

↑ secondo la formula di Jourawsky
 - Si determina quindi l'andamento lineare antisimmetrico delle $\tilde{\tau}_{zx}(x,y)$:



$$\tau_{zy}^J(y) = \frac{Ty S_{xz}^{yy}(y)}{Tx b(y)} \quad \left(\text{é max over } \frac{S_{xz}^{yy}(y)}{b(y)} \text{ é max} \right)$$

$$\tau_{zx}^J(x,y) = -2 \frac{\operatorname{tg} \alpha(y)}{b(y)} \sigma_{zy}^J(y) \cdot x$$

↑

τ_{zx} è positiva (nella direz. x)
per $x < 0$

per con

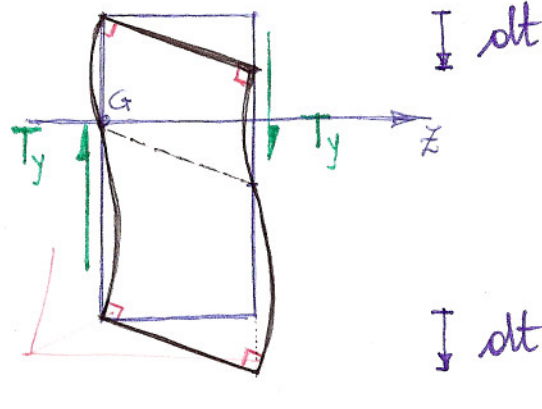
(è mass in y dove
 $\frac{\operatorname{tg} \alpha(y)}{b(y)} \sigma_{zy}^J(y)$ è mass.
e, ovviamente, in
 $x = \pm \frac{b(y)}{2}$, nei p.ti
del contorno)

↑

$$\frac{\text{Cay} \, \text{tg} \, \alpha}{\frac{b}{2}} = \frac{2 \, \text{tg} \, \alpha}{b} \, \text{Cay}$$

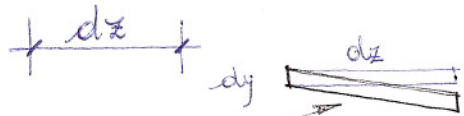
N.B. : Se il contorno è fatto //
all'asse y, $T_{zx} \equiv 0$
ovunque nella sezione
ed è presente la sola
 T_{zy} secondo Tournawsky

• Deformazione del concio di trave dovuta al taglio:



In ragione della variabilità sulla sezione delle deformazioni taglienti, direttamente proporzionali alle tensioni tangenziali, si produce:

- uno scorrimento medio δt relativo tra le due sezioni poste a distanze dz ;
- un'ingombra fuori piano della sezione.



questa sarebbe anche la def. globale del concio se le γ_z fossero costanti sulla sezione

Ogni ipotetica strisciolina dy, dz si deforma con def. tagliente differente secondo la diversa quota y . Riassemblandole si ottiene l'ingombra fuori piano.

• Si può valutare lo scorrimento relativo medio mediante il PLV: $\delta_e = \delta_i$

$$\cancel{T_y \cdot \delta t} = \int_A (\tau_{zx} \gamma_{zx} + \tau_{zy} \gamma_{zy}) dA dz \quad \text{con } \gamma_{zx} = \frac{\tau_{zx}}{G} \\ \gamma_{zy} = \frac{\tau_{zy}}{G}$$

forza per spostato integrale di sforzi per deformazioni

$$= \frac{1}{G} \int_A (\tau_{zx}^2 + \tau_{zy}^2) dA dz = \frac{1}{G} \int_A \tau_{zy}^2 \left(1 + \frac{\tau_{zx}^2}{\tau_{zy}^2} \right) dA dz = \frac{1}{G} \int_A \frac{T_y^2 S_x^{**2}}{J_x^2 b^2} \left(1 + 4 \frac{tg^2 \alpha}{b^2} x^2 \right) dA dz$$

$$= \frac{1}{G} \frac{T_y^2}{A} dz \quad \underline{\int_A \frac{S_x^{**2}}{b^2} \left(1 + 4 \frac{tg^2 \alpha}{b^2} x^2 \right) dA}$$

μ : fattore di taglio
i puri parametri geometrici della sezione trasversale -
Si dim. che è sempre ≥ 1

Si ottiene:

$$\delta t = \mu \frac{T_y}{GA} dz = \frac{T_y}{GA^*} dz$$

$A^* = \frac{A}{\mu}$: area ridotta secondo la quale si misura lo scorrimento medio δt

Caso della sezione rettangolare

N.B.: poiché

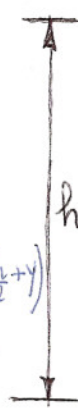
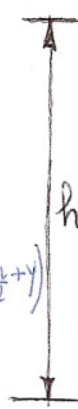
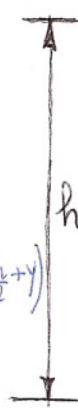
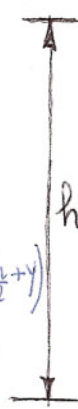
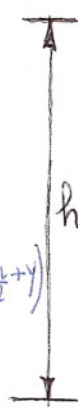
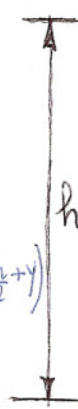
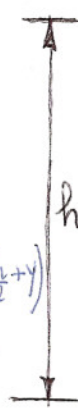
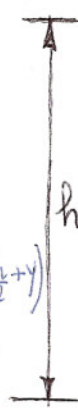
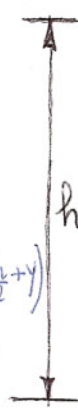
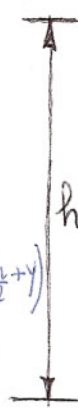
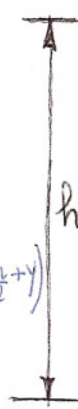
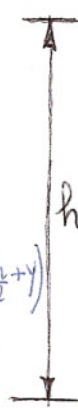
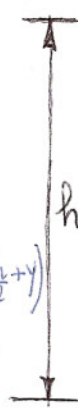
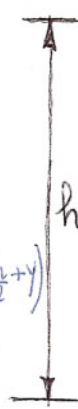
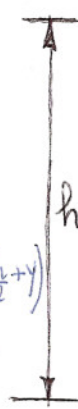
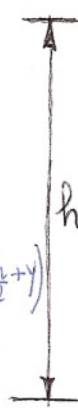
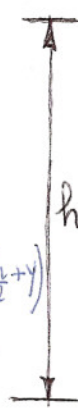
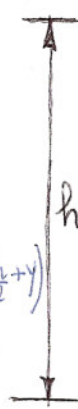
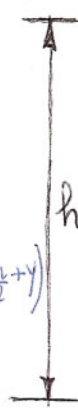
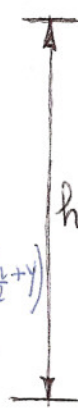
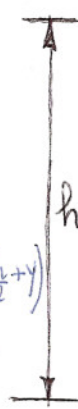
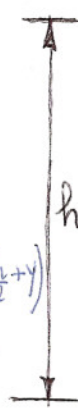
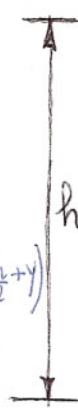
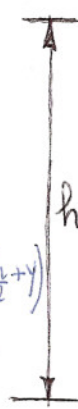
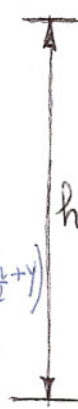
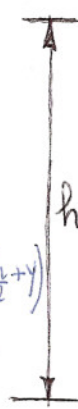
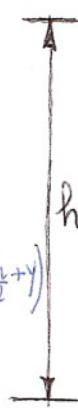
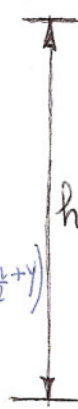
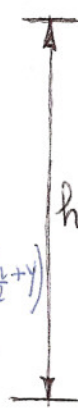
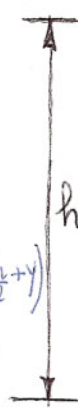
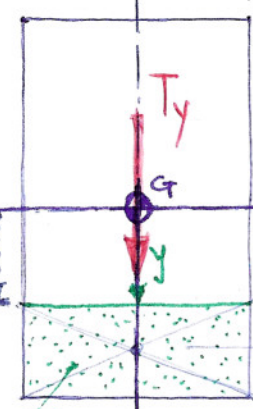
$$\alpha(y) \approx 0 \text{ mm}$$

c'è τ_{zx}

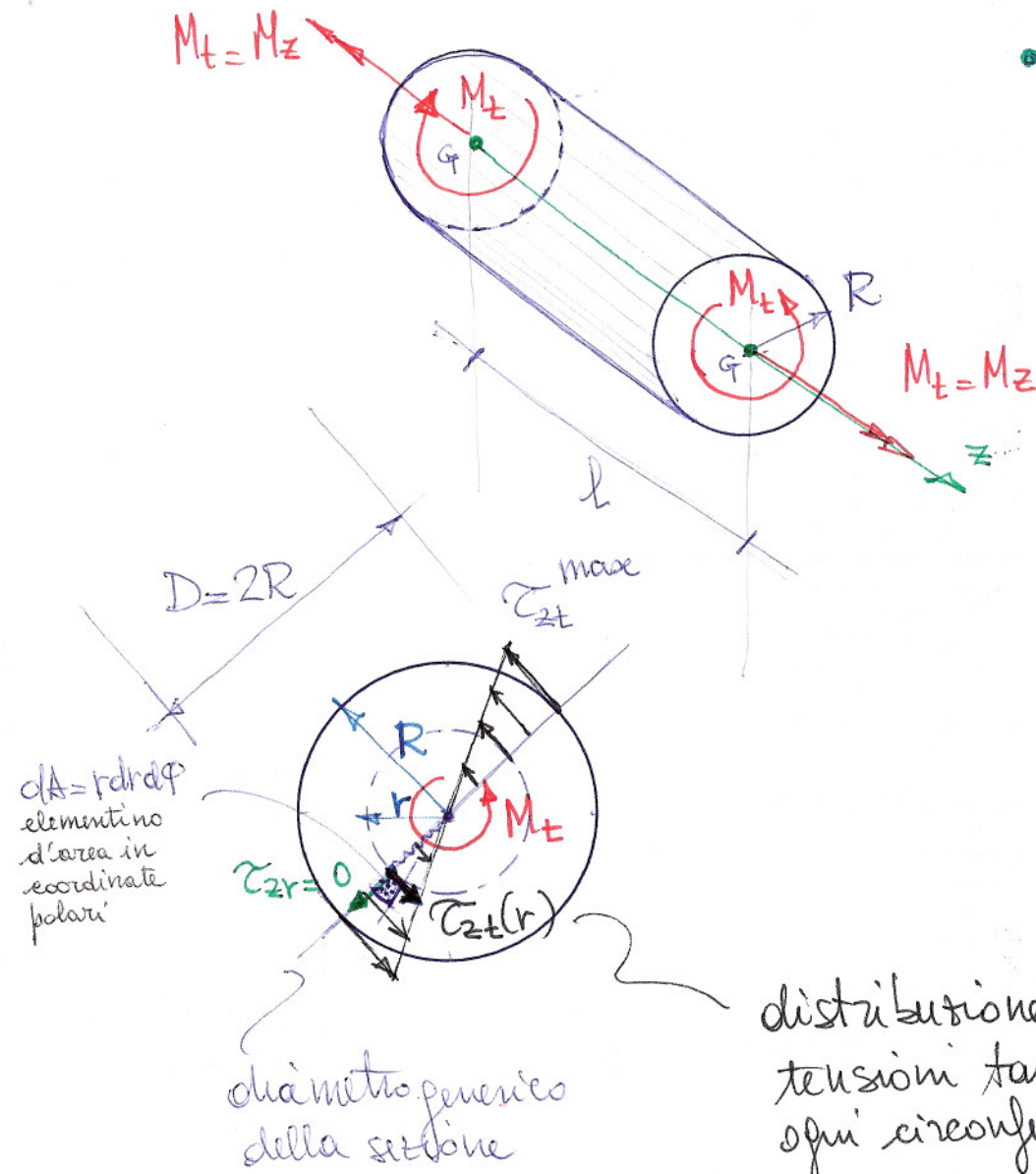
$$J_x = \frac{1}{12} b h^3$$

$$x=0$$

$$y = \frac{h}{2} - y$$



4) Torsione (circolare)



- Si considera un prisma di DSV a sezione circolare di raggio R costante soggetto a momento torcente M_t
 - Per strette analogie col caso delle flexione retta si opera con approccio semiinverso agli sforzi
 - Guidati da considerazioni di simmetria (polare) delle sezione circolare si pone la seguente ipotesi sul campo di sforzo:

$$\sigma_{ij} = 0 \quad \text{e} \quad \tau_{2r} = 0 \quad , \quad \boxed{\tau_{2t} = k \cdot r}, \quad k = \text{const}$$

tensioni tangenziali nel piano della sezione

distribuzione lineare di tensioni tangenziali tangenti ad ogni circonferenza interna di raggio $0 \leq r \leq R$

- Si verifica che tutte le equaz. governanti il pb. elastico di DSV risultino soddisfatte.

- Si determina la costante K imponendo la condizione di equivalenza statica tra la distribuzione di sforzo $\tau_{zt} = K r$ ed il momento torcente M_t applicato:

$$\int_A dM_t = \int_A (\underbrace{(\tau_{zt} dA)}_{\text{forza}} \cdot \underbrace{r}_{\text{braccio}}) = M_t \quad . \quad \text{Sostituendo il campo } \tau_{zt}(r):$$

$$\int_A (K r dA) \cdot r = K \int_A r^2 dA = M_t \Rightarrow K = \frac{M_t}{J_G}$$

J_G : momento d'inerzia polare
rispetto al baricentro

$$[J_G] = [L]^4$$

• $J_G = \int_A r^2 dA = \iint_A r^2 r dr d\varphi = 2\pi \left. \frac{r^4}{4} \right|_0^R = \frac{\pi R^4}{2} = \frac{\pi D^4}{32}$

Quindi:

$$\begin{aligned} \tau_{zt} &= \frac{M_t}{J_G} r \\ &= \frac{2 M_t}{\pi R^4} r \end{aligned}$$

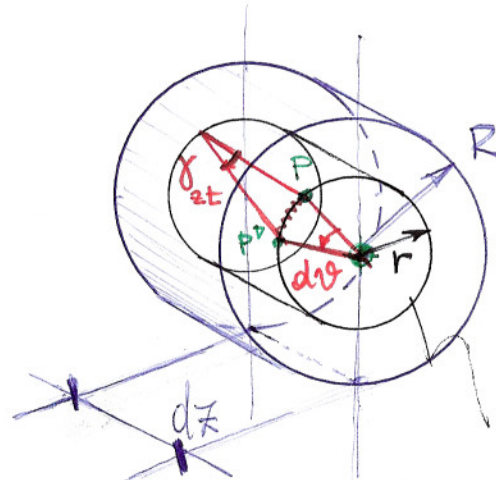
(notare l'analoga con
la formula di Navier per le flessioni)

• $\tau_{zt}^{\max} = \tau_{zt}(r=R) = \frac{2 M_t}{\pi R^3}$ Tensione tangenziale massima dovuta al momento torcente
 $= \frac{M_t}{W_t}$ ($W_t = \frac{\pi R^3}{2}$: modulo di resistenza a torsione)

- Campo di deformazione:

$$\varepsilon_{ij} = 0 \text{ salvo } \gamma_{zt} = \frac{\tau_{zt}}{G} = \frac{M_t}{G \cdot J_q} r$$

- Conseguente deformazione del concio di prisma: rotazione relativa dθ tra due sezioni poste mutuamente a distanza dz



cilindretto di raggio
r generico con
scorrimento angolare
 γ_{zt} letto sulla sua
sup. esterna

$$\overline{pp'} = r d\theta = \gamma_{zt} dz$$

$$\cancel{d\theta} = \frac{M_t}{G \cdot J_q} \cancel{dz}$$

$$d\theta = \frac{M_t}{G \cdot J_q} dz$$

con $G \cdot J_q$: rigidezza torsionale

- Rotaz. relativa tra le basi del prisma:

$$\Delta\theta = \int_0^l d\theta = \frac{M_t l}{G \cdot J_q}$$

- Più in generale, per sezioni compatte di forma generica:

$$d\theta = \frac{M_t}{G J_t} dz = q \frac{M_t}{G J_q} dz$$

ove J_t : inertie torsionale

q : fattore di torsione

$$J_t = \frac{J_q}{q} \leq J_q$$

$$q = \frac{J_q}{J_t} \geq 1$$

proprietà geometriche delle set. trasversale

orizi@unibg.it

(1)